

# کاربرد زایدات کشاورزی در حذف فل در محیط‌های آبی

افشین ملکی<sup>۱</sup> دکتر امیرحسین محوی<sup>۲</sup>

<sup>۱</sup> مریبی گروه بهداشت محیط، دانشگاه علوم پزشکی کردستان<sup>۲</sup> استادیار گروه بهداشت محیط، دانشگاه علوم پزشکی تهران

مجله پزشکی هرمزگان سال دهم شماره چهارم زمستان ۸۵ صفحات ۳۹۳-۳۹۹

## چکیده

**مقدمه:** این مطالعه به منظور استفاده از مواد زائد کشاورزی (سیوس برنج و خاکستر آن) به عنوان یک جاذب ارزان قیمت، جدید، قابل مسترسی و با تولید قابل توجه در کشور در جذب و حذف فل در محیط‌های آبی انجام گردیده است. جذب توسط اینگونه مواد به عنوان یک گزینه در مقایسه با مایر روش‌های متداول که معمولاً پرهزینه نیز می‌باشند، اقتصادی به نظر می‌رسد.

**روش کار:** در این مطالعه توصیفی - تحلیلی، مطالعات ایزوترم و سنتیک واکنش بر اساس تغییرات شرایط مختلف حاکم بر فرآیند مانند زمان تماس، غلظت اولیه فل، مقنار جذب و PH محیط آب انجام شده است. زمان تعامل در سیستم جنبی سیوس برنج با غلظت فل ۱۵۰-۵۰۰ میکروگرم در لیتر و خاکستر آن با غلظت فل ۱۳۰۰-۵۰۰ میکروگرم به ترتیب برابر ۶ و ۳ ساعت تعیین گردید.

**نتایج:** یافته‌های این مطالعه نشان داد که PH محیط آب یک فاکتور مهم در جذب فل است و جذب فل با افزایش PH کاهش می‌یابد. همچنین با افزایش غلظت اولیه فل، ظرفیت جذب جاذبه افزایش یافته، در صورتی که بازده جذب فل در همان روز یک روند معکوسی را نشان می‌دهد. نتایج مطالعات ایزوترم جذب حاکی از این بود که الگوی جذب در هر دو جاذب به نحو بهتری از مدل فروزنده‌ی بیرونی می‌کند.

**نتیجه‌گیری:** در مجموع نتایج بررسی گویای این واقعیت است که خاکستر سیوس برنج قابلیت بالایی (۹۱٪) در جذب فل در مقایسه با سیوس برنج (۴۴٪) دارد، لذا خاکستر سیوس برنج می‌تواند به عنوان یک جاذب کارآمد و ارزان قیمت برای حذف آلاینده‌های آلی همچون فتل در صنعت آب و فاضلاب بکار رود.

**کلیدواژه‌ها:** فل - حذف - کشاورزی - زایدات

نویسنده مسئول:

افشین ملکی

گروه بهداشت محیط - دانشگاه

علوم پزشکی کردستان

سنتنچ - ایران

تلفن: +۹۸ ۹۱۲ ۳۶۱۵۰۵۰

پست الکترونیکی:

Maleki43@yahoo.com

دریافت مقاله: ۸۴/۳/۱۰ اصلاح نهایی: ۸۵/۵/۱۱ پذیرش مقاله: ۸۵/۵/۲۵

انجام است و هدف عمدۀ آن شناسایی روش‌های کارآمد و ارزان می‌باشد. در بین این مواد، ترکیبات فنلی به عنوان یک گروه از مواد آلی که از لحاظ ساختمانی خیلی مشابه علفکش‌ها و حشره‌کشها بوده و با یک مقاومت خاص در برابر روش‌های معمول تصفیه، توجه بسیاری از متخصصین را به خود معطوف کرده است. این ماده در فاضلاب خانگی، صنعتی، آبهای سطحی و حتی شرب ممکن است یافت شود. این ماده علاوه بر خطرات بهداشتی، بدلیل ایجاد بو و طعم حائز اهمیت است (۱۰۲). یکی از پیامدهای وجود ترکیبات فنلی، ایجاد ترکیبات

## مقدمه:

در چند دهه اخیر آلودگی منابع آبهای سطحی و زیرزمینی به انواع ترکیبات شیمیایی آلی بدلیل توسعه سریع صنایع شیمیایی و پتروشیمیایی دارای رشد گستردگی بوده است. اکثر ضایعات شیمیایی حاوی ترکیبات شیمیایی متنوعی هستند که توسط روش‌های متداول تصفیه به سختی حذف شده و بعضی غیرقابل تصفیه هستند. لذا از چند دهه قبل تحقیقات زیادی برای توسعه روش‌های نوین تصفیه برای رفع مشکلات زیست محیطی ناشی از این گونه ترکیبات شیمیایی در شرف

### روش کار:

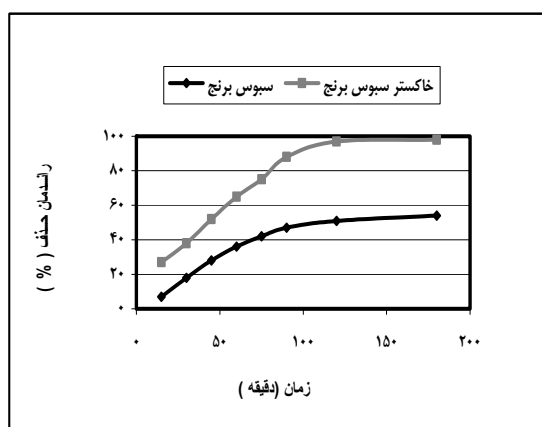
این تحقیق یک مطالعه توصیفی - تحلیلی می‌باشد و بر روی نمونه‌های آبی آلوده به فتل انجام گردیده است. نمونه‌های بصورت سنتیک با غلظت‌های مختلف فتل (با توجه به مقدار جاذب و راندمان حذف که طی چند پیش آزمون مشخص گردید) در حجم ۱۰۰ میلی‌لیتر تهیه گردید. بر اساس نتایج آزمایشات پیش آزمون غلظت فنول در نمونه‌ها بین  $1\text{--}120 \mu\text{g/l}$  انتخاب گردید. به منظور بررسی تأثیر pH (در ۵ محدوده مختلف)، تأثیر مقدار جاذب (در ۴ محدوده) و غلظت فنول (در ۴ محدوده) برای دو نوع جاذب که شامل سبوع برنج و خاکستر آن می‌باشد جمعاً ۱۶۰ نمونه تهیه و تجزیه گردید. لازم به ذکر است که کلیه آزمایشات به منظور کاهش میزان خطا دوبار تکرار گردیده است.

اطلاعات مورد نیاز به ترتیب در طی مراحل مختلف آزمایشات که شامل آزمایشات مربوط به تعیین اثر pH غلظت فنول اولیه و مقدار جاذب روی کارآیی جذب است، بدست می‌آید. کلیه آزمایشات بر اساس روش‌های استاندارد آزمایشات آب و فاضلاب (۹) انجام گردیده است. ابتدا به منظور تعیین اثر pH و تعیین اثر pH بهینه، آزمایشات در pHهای مختلف (۰،۵،۶،۷،۹،۱۰) (۱۰) با یک غلظت ثابت از فنول ( $2\text{ mg/l}$ ) انجام شد. به منظور ایجاد اختلاط و تماس بین جاذب و آلاینده از دستگاه جار استفاده شد (سرعت ۱۰۰ دور در دقیقه). پس از اتمام زمان تماس مورد نظر در دستگاه جار، دستگاه خاموش گردید و بعد از ۱۰ دقیقه محلول مورد نظر صاف شد.

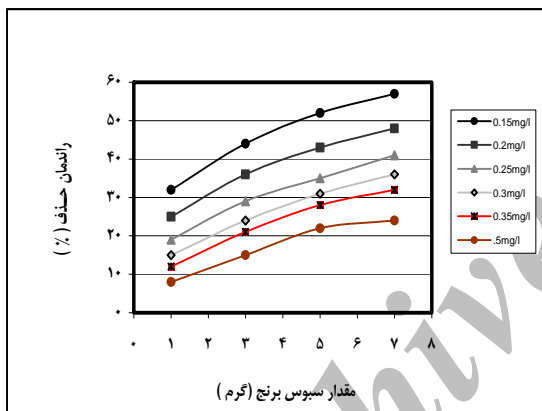
به منظور جلوگیری از تداخل رنگ حاصل از سبوس برنج در نمونه‌ها، کلیه نمونه‌های در تماس با سبوس برنج طبق روش استاندارد توصیه شده در رفرانس ۱۰ تقطیر گردید و سپس مقدار فنول موجود در نمونه‌ها طبق روش رنگ سنجی با معرف ۴ - آمینو آنتی پیرین توسط اسپکتروفوتومتر در طول موج  $500\text{ nm}$  انجام شد (۹). (نمونه‌های در تماس با خاکستر بدليل عدم ایجاد رنگ در محیط آبی نیازی به تقطیر ندارند). نهایتاً بعد از استخراج و جمع‌آوری نتایج آزمایشات، اطلاعات اولیه به کمک

کلروفل در طی کلرزنی آب شرب است که منجر به بوى زننده و قابل اعتراض توسط مصرف‌کنندگان می‌شود. لذا فتل یک آلاینده دارای تقدم خاص و خطرناک طبقه‌بندی شده است (۲،۳،۴). روش‌های متعددی مانند اکسیداسیون، ترسیب، تبادل یون و غیره برای حذف فتل و مشتقات آن در آب و فاضلاب بکار رفته است (۲،۵). ولی فرآیند جذب یکی از تکنیک‌های کارآمد و مؤثر است و به همین دلیل از کربن فعال بدليل قابلیت جذب بالای آن، زیاد استفاده شده است (۶). ولی بدليل قیمت بالای کربن فعال و مشکلات احیاء مجدد آن، کاربردش در کشورهای در حال توسعه و کم‌درآمد محدود است. لذا این امر باعث شده که بسیاری از محققین بدنبال جاذب‌های اقتصادی، عملی و مؤثر باشند. خاک اره، خاکستر، چوب، کاه، سبوس برنج، پوست نارگیل، خاک رس و... تعدادی از جاذب‌های جدید و ارزان هستند (۲،۳،۵،۷). در این بین سبوس برنج به عنوان یکی از زایدات کشاورزی و با تولید قابل توجه در جهان بویژه ایران، بدليل ماهیت شیمیایی خاص خود حاوی کربن و سیلیس (۲۰-۱۵٪) می‌باشد و قابلیت جذب مواد آلی را دارد. لذا کاربرد آن در صنعت آب و فاضلاب علاوه بر کنترل ترکیبات آلاینده، کمکی در رفع مشکل دفع سبوس نیز می‌باشد (۷،۸). همچنین در صورت سوزاندن سبوس ۲۰٪ خاکستر از آن باقی می‌ماند که واجد ۹۵٪ سیلیکا است (سیلیکا یک جاذب بسیار کارآمد است) و راندمان حذف بسیار بالایی را از خود نشان می‌دهد.

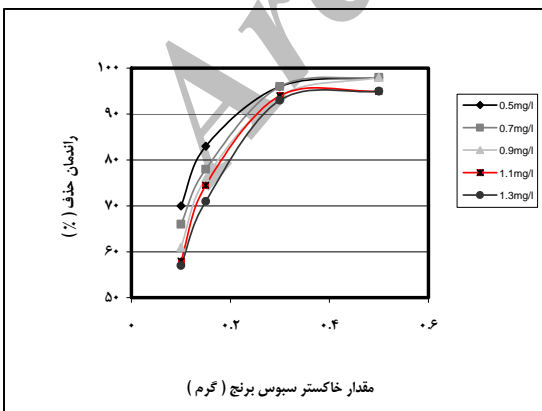
از آنجایی که از سبوس برنج برای حذف ترکیبات مختلفی به غیر از فنول استفاده می‌شود و بدليل اهمیت بهداشتی فنول این مطالعه با هدف بررسی و شناسایی امکان استفاده از سبوس برنج و خاکستر آن برای حذف فنول در محیط‌های آبی انجام شده است. همچنین تأثیر عوامل مختلف محیطی مثل pH، غلظت آلاینده، غلظت جاذب بر روی ظرفیت جذب بررسی شده و نهایتاً مدل‌های مربوط به ایزووترم جذب (لانگر و فروندلیچ) که الگوی اصلی در کاربرد این روش‌ها در مقیاس واقعی است مورد مطالعه قرار گرفته است.



نمودار شماره ۲- اثر زمان تماس در حذف فنل توسط سبوس برج و خاکستر آن (غلظت فنل ۱۵ میلیگرم در لیتر و مقدار سبوس برج ۵ گرم در ۱۰۰ میلی لیتر و غلظت فنل ۷ میلیگرم در لیتر و مقدار خاکستر سبوس برج و ۱۲ گرم در ۱۰۰ میلی لیتر)



نمودار شماره ۳- اثر غلظت فنل در حذف آن توسط سبوس برج



نمودار شماره ۴- اثر غلظت فنل در حذف آن توسط خاکستر سبوس برج

روش‌های آماری و نرم‌افزار Excel تجزیه و تحلیل شد.

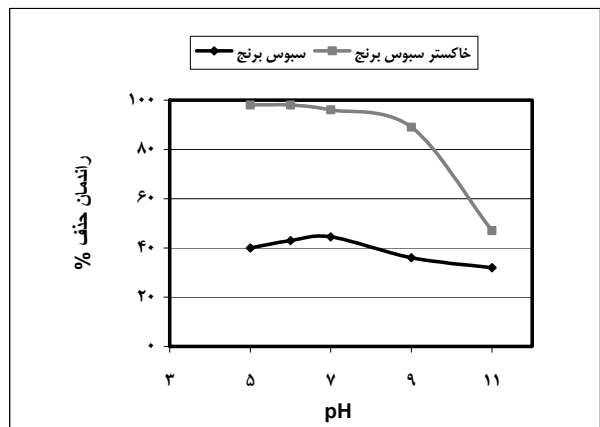
### نتایج:

نتایج حاصل از این مطالعه در خصوص اثر pH محیط آبی در راندمان حذف فنل توسط سبوس برج و خاکستر آن، اثر زمان تماس در راندمان حذف فنل برای دو جاذب مورد بررسی، اثر مقدار سبوس برج و خاکستر آن در میزان کارآیی سیستم در حذف فنول و نهایتاً ایزوترم‌های جذب فرونالیج و لانگمیر برای هر دو جاذب مورد استفاده در این پژوهش به ترتیب در نمودارهای ۱ الی ۸ نمایش داده شده است. همچنین پارامترهای اصلی و ضرایب رگرسیون مدل‌های لانگمیر و فرونالیج در جدول شماره ۱ ارائه شده است.

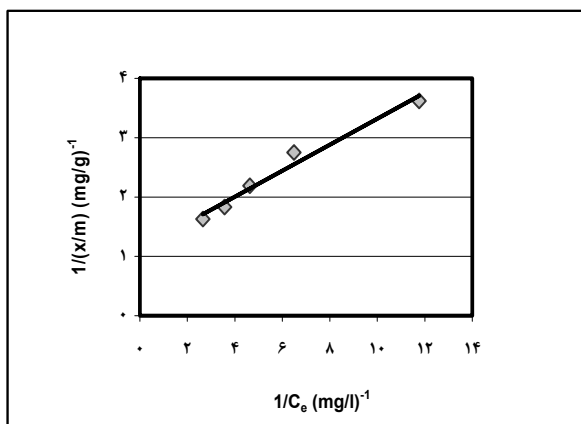
جدول شماره ۱- پارامترهای مدل ایزوترم جذب

#### فرونالیج و لانگمیر

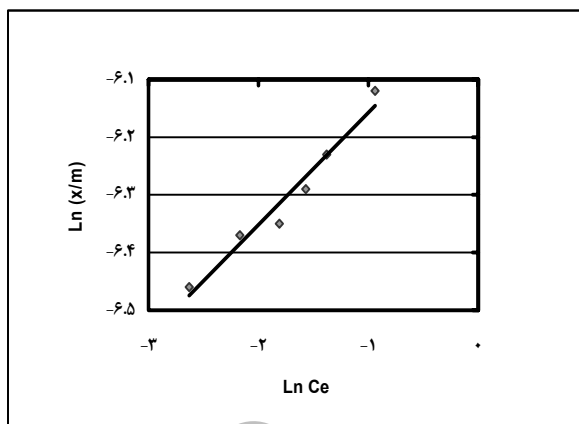
نوع ایزوترم	مدل لانگمیر			مدل فرونالیج			پارامتر جنب
	R <sup>2</sup>	b	Q <sup>0</sup>	R <sup>2</sup>	l/n	k	
سبوس برج	۰/۸۷	۳۰/۷۲	۰/۰۲۲	۰/۹۶	۰/۱۹۵	۰/۰۰۰۹۲	
خاکستر سبوس برج	۰/۹۷	۵/۱۵	۰/۸۷۶	۰/۹۸	۰/۵۷	۰/۰۰۰۹۲	



نمودار شماره ۱- اثر pH در حذف فنل توسط سبوس برج و خاکستر آن (غلظت فنل ۲ میلیگرم در لیتر و مقدار سبوس برج و خاکستر آن به ترتیب ۳ و ۵ گرم در ۱۰۰ میلی لیتر)



نمودار شماره ۸- ایزوتروم خطی جذب لانگمیر برای جذب فنل توسط خاسکتر سبوس برنج



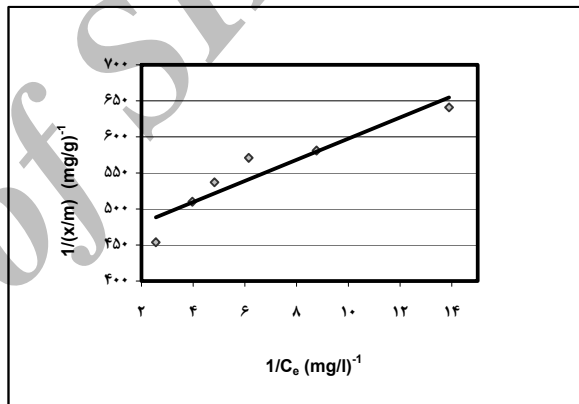
نمودار شماره ۵- ایزوتروم خطی جذب فروندلیج برای جذب فنل توسط سبوس برنج

#### بحث و نتیجه‌گیری:

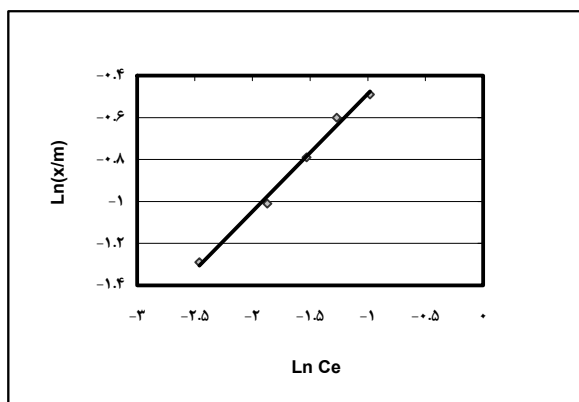
اثر pH اولیه محیط آبی: جذب فنل از محیط آبی کاملاً بستگی به pH محلول دارد، زیرا pH بر روی شارژ الکتریکی سطح جاذب اثر گذاشت و درجه یونیزاسیون فنل را تغییر می‌دهد (۱۰، ۱۱، ۱۲). نتایج اثر pH در فرآیند جذب در نمودار شماره ۱ آمده است و همانطوری که انتظار می‌رود مقدار فنل جذب شده با افزایش pH کاهش می‌یابد. این پدیده مربوط به اثر pH در یونیزاسیون فنل می‌باشد. بخش یونی فنل ( $\Phi_{ions}$ ) توسط رابطه زیر قابل محاسبه است (۴):

$$\Phi_{ions} = \frac{1}{1 + 1^{(PK_a - pH)}}$$

بنابراین مشاهده می‌شود که  $\Phi_{ions}$  با افزایش pH افزایش می‌یابد. در نتیجه، فنل که یک اسید ضعیف است (PK<sub>a</sub> = ۱۰) به مقدار خیلی جزئی در pH بالا جذب خواهد شد که علت آن نیروهای دافعه غالب در pH بالا می‌باشد (۴، ۷). همچنین در pH‌های بالا فنل به شکل نمک خواهد بود که بسادگی یونیزه شده و ایجاد بار منفی در گروههای فنلی می‌کند و در همین لحظه وجود گروههای یونی OH<sup>-</sup> بر روی جاذب از جذب یونهای فنلات جلوگیری می‌کند (۲، ۷). نتایج مشابهی در این خصوص برای جذب فنل بر روی کربن فعال توسط Halouli و بر روی بنتونیت توسط Banat ارائه شده است (۴، ۱۰).



نمودار شماره ۶- ایزوتروم خطی جذب لانگمیر برای جذب فنل توسط سبوس برنج



نمودار شماره ۷- ایزوتروم خطی جذب فروندلیج برای جذب فنل توسط سبوس برنج

فنل در نمودارهای شماره ۳ و ۴ ارائه شده است و همانطوری که از نتایج پیداست، ظرفیت جذب جاذب با افزایش غلظت فنل افزایش می‌یابد در صورتی که بازده جذب فنل در همان زمان یک روند عکس را نشان می‌دهد، هنگامی که غلظت اولیه فنل از  $1\text{ }\mu\text{g}/\text{l}$  به  $350\text{ }\mu\text{g}/\text{l}$  افزایش می‌یابد، ظرفیت جذب بر روی سبوس برنج از  $\frac{\text{mg}}{\text{mg}}$  به  $\frac{1/56 \times 10^{-6}\text{ mg}}{1/96 \times 10^{-6}\text{ mg}}$  می‌رسد. در مورد خاکستر سبوس برنج نیز با افزایش غلظت فنل از  $1\text{ }\mu\text{g}/\text{l}$  ،  $500\text{ }\mu\text{g}/\text{l}$  ،  $1300\text{ }\mu\text{g}/\text{l}$  ، میزان جذب در واحد جرم جاذب از  $\frac{\text{mg}}{\text{mg}}$  به  $\frac{2/7 \times 10^{-4}\text{ mg}}{6/15 \times 10^{-4}\text{ mg}}$  افزایش می‌یابد. این واقعیت بدین صورت قابل تفسیر است که با افزایش غلظت فنل، نیروی محرك انتقال جرم و بنابراین سرعت عبور مولکولهای فنل از محلول به طرف لایه مایع احاطه‌کننده جاذب و نهایتاً به طرف سطح ذرات جاذب افزایش می‌یابد (۱۲،۱۳). از سوی دیگر درصد حذف فنل (راندمان حذف) با افزایش غلظت اولیه فنل کاهش می‌یابد. این وضعیت در نمودارهای ۲ و ۳ نشان داده است. همچنین همانطوری که انتظار می‌رود تعادل جذب و بازده جذب برای خاکستر سبوس برنج خیلی بالاست که علت آن مساحت سطح ویژه بزرگتر و ساختمان پر حفره خاکستر سبوس برنج در مقایسه با سبوس برنج است (۴).

ایزوترم‌های جذب فنل (لانگمیر و فروندلیچ): چندین مدل مختلف برای تشرییغ داده‌های حاصل از آزمایشات جذب در نوشت‌جات علمی وجود دارد. که مهمترین آنها ایزوترمهای جذب است. تحلیل ایزوترم جذب به منظور توسعه یک معادله به منظور نمایش دقیق نتایج و برای مقاصد طراحی سیستم‌های جذب بسیار مهم است. در این مطالعه دو مدل برای بیان ارتباط بین مقدار فنل جذب شده و غلظت تعادلی آن در محلول بکار رفته است. این دو مدل ایزوترم‌های فروندلیچ و لانگمیر می‌باشد. شکل خطی ایزوترم فروندلیچ به شکل رابطه زیر است (۲،۴،۵،۷،۱۴،۱۵):

$$\text{Lnq}_e = \text{LnK} + \frac{1}{n} \text{LnC}_e$$

اثر زمان تماس در فرآیند جذب فنل: به منظور بررسی اثر زمان تماس در راندمان فرآیند حذف فنل نمونه‌هایی با غلظت اولیه  $1\text{ }\mu\text{g}/\text{l}$  با مقدار جاذب ۵ گرم برای سبوس برنج و نمونه‌هایی با غلظت اولیه فنل برابر  $1\text{ }\mu\text{g}/\text{l}$  و با مقدار جاذب ۱۲ گرم برای خاکستر سبوس تهیه گردید و در pH حدود ۷ آزمایش انجام شد. نتایج حاصل نشان داد زمان لازم برای رسیدن به تعادل در فرآیند جذب فنل بر روی سبوس برنج و خاکستر آن به ترتیب برابر ۶ ساعت و ۳ ساعت می‌باشد. این نتایج همچنین نشان می‌دهد که فرآیند جذب، یک فرآیند سریع است. زیرا مقادیر زیاد و قابل توجهی از فنل در ۱۲۰ دقیقه اولیه فرآیند جذب جاذب می‌شود. همچنین نتایج نشان می‌دهد که خاکستر سبوس برنج به زمان ماند کمتری برای حذف کامل فنل در مقایسه با سبوس برنج نیاز دارد. نتایج اثر زمان در نمودار ۲ شماره ارائه شده است.

اثر مقدار جاذب در فرآیند حذف فنل: اثر مقدار جاذب بر کارایی فرآیند جذب در نمودارهای شماره ۳ و ۴ نمایش داده شده است. مقادیر سبوس برنج بین ۱ تا ۷ گرم و خاکستر سبوس برنج بین  $0.1\text{ }/\text{۰.۵}\text{ }\mu\text{g}/\text{l}$  تا  $0.1\text{ }/\text{۰.۰۵}\text{ }\mu\text{g}/\text{l}$  یکصد میلی‌لتیر نمونه در غلظت اولیه فنل  $1\text{ }\mu\text{g}/\text{l}$  راندمان حذفی برابر ۹۶٪ بدست می‌آید. اما با همین شرایط در صورتی که جاذب مورد نظر سبوس برنج باشد تنها به راندمان ۲۷٪ حذف نایل خواهیم گشت. لذا برای رسیدن به راندمان بالاتر نیاز به مصرف مقادیر خیلی زیادی از سبوس هستیم. علت این وضعیت مربوط به ویژگی‌های بالای خاکستر سبوس از لحاظ محتوای کربن بدلیل سوخته شدن مواد آلی موجود در سبوس برنج و افزایش سطح فعال و خلل و فرج بر روی سطح خاکستر حاصل از سوزاندن سبوس برنج می‌باشد. لذا نتایج بخوبی نشان می‌دهد که کارایی خاکستر سبوس برنج به مراتب بالاتر از خود سبوس می‌باشد (۸).

اثر غلظت اولیه فنل: ظرفیت تعادلی جذب جاذب‌ها (سبوس برنج و خاکستر آن) در غلظت‌های متفاوتی از

و ۹۸٪) از ضرایب رگرسیون در سیستم جذبی سبوس برنج - فنول (۹۶٪ و ۸۷٪) می‌باشد. لذا قابلیت بالاتر و بهتر خاکستر را نشان می‌دهد. مقادیر بالاتر K (ثبت فروند لیچ) نماینده جذب راحت فنل از محلول‌های آبی می‌باشد (۲۰۵، ۱۰). مشاهده می‌گردد که مقدار K برای سیستم جذبی سبوس برنج - فنل پایین‌تر از سیستم جذبی خاکستر سبوس برنج - فنل است. مقدار ثابت  $n$  که منعکس کننده شدت جذب است یک روند عکس را نشان می‌دهد و همانطوری که در جدول ۱ دیده می‌شود برای هر دو جاذب مقدار  $n$  به اندازه کافی بزرگ است تا جداسازی شود. بالا بودن مقدار  $\frac{1}{n}$  ( $< 0.1$ ) به این معنی است که سطح ذرات جاذب یک ماهیت نامتنجانس دارد (۱۱). مقدار ثابت  $\varphi$  نشان دهنده مقدار فنل جذب شده به ازاء واحد جرم جاذب است. بنابراین بزرگی آن دلالت بر میزان جذب بالاتر فنل را نشان می‌دهد. لذا سیستم جذبی خاکستر سبوس - فنل با مقدار ثابت  $\varphi$  برابر ۰.۸۸۶ در مقایسه با سیستم جذبی برنج - فنل با ثابت ۰.۰۰۲۲ قابلیت بالاتر جذب فنل را بر روی خاکستر نشان می‌دهد. نتایج مشابهی در خصوص جذب فنل روی سایر جاذب‌ها مثل بتونیت، بتونیت آلی و کربن فعل توسط سایر محققین گزارش شده است (۱۷، ۱۶، ۲۴). بنابراین با توجه به مقادیر  $K^{\circ}$ ,  $R^{\circ}$  و  $Q^{\circ}$  (طبق جدول شماره ۱) نتیجه‌گیری می‌شود که خاکستر سبوس برنج بدلیل داشتن محتوای کربنی بالاتری نسبت به سبوس برنج واجد قابلیت بهتری در حذف فنل و سایر آلاینده‌های آلی می‌باشد.

که در اینجا:

$q_e =$  مقدار جسم جذب شده به ازاء جرم جاذب است

$$\frac{mg}{mg}$$

$Ce =$  غلظت تعادلی جسم جذب شونده بر حسب  $mg/l$

$$\frac{1}{n} K$$

و  $\frac{1}{n}$  ثابت‌های ایزوترم فروند لیچ هستند که به ترتیب مربوط به ظرفیت جذب و شدت جذب جاذب می‌باشند.

رابطه خطی ایزوترم لانگمیر نیز طبق رابطه زیر

عبارت‌ست از (۱۵، ۱۴، ۷، ۵ و ۲):

$$\frac{1}{q_e} = \frac{1}{Q^{\circ}} + \frac{1}{bQ^{\circ}} \frac{1}{Ce}$$

و در اینجا:  $Q^{\circ}$  بر حسب  $g$  و  $b$  بر حسب  $mg$

ثابت‌های ایزوترم لانگمیر هستند و مربوط به حداقل ظرفیت جذب و انرژی جذب می‌باشند.

نمودارهای شماره ۵ الی ۸ ایزوترم‌های جذب لانگمیر و فروندلیچ را بر دو سیستم جاذب سبوس برنج و خاکستر آن نمایش می‌دهد. همچنین ثابت‌های این دو ایزوترم در جدول ۱ ارائه شده است. با توجه به نتایج حاصل مشاهده می‌شود که جذب فنل بر روی سبوس برنج و خاکستر آن بخوبی از ایزوترم فروندلیچ تبعیت می‌کند. البته در کل با توجه به مقدار ضریب رگرسیون  $(R^2)$  ارائه شده و در جدول شماره ۱ هر دو معادله برای تشریح جذب فنل قابلیت دارند. ولی رابطه فروندلیچ با مقدیر  $R^2$  برابر ۰.۹۸ و ۰.۹۶ با همان ترتیب فوق، بطور قوی‌تری جذب فنل را توصیف می‌کند. همچنین این ضرایب نشان‌گر این واقعیت نیز می‌باشند که خاکستر سبوس برنج در هر دو از ایزوترم‌های جذب بالاتر (۰.۹۷) است.

**منابع****References**

1. U.S. Environmental Protection Agency. Technology Transfer Network, Phenol: 2000.
2. Rengaraj S, Seuny-Hyeon M, Sivabalan R, Arabindoo B, Murugesan V. Agricultural solid waste for the removal of organics: adsorption of phenol from water and wastewater by plum seed coat activated carbon. *Waste Manag.* 2002;22:543-548.
3. Streat M, Patrick JW, Camporoperez MJ. Sorption of phenol and para-chlorophenol from water using conventional and novel activated carbons. *Water Res.* 1995;29(2):467-472.
4. Banat FA, Al-Bashir B, Al-Asheh S, Hayajneh O. Adsorption of phenol by bentonite. *Environ Pollut.* 2000;107:391-398.
5. Aksu Z, Yener J. A comparative adsorption/biosorption study of mono-chlorinated phenols onto various sorbent. *Waste Manag.* 2001;21:695-702.
6. Mostafa MR, Sarma SE, Yousef AM. Removal of organic pollutants from aqueous solution: part 1. Adsorption of phenol by activated carbon. *Indian J Chem.* 1989;28:946-948.
7. Khalid N, Ahmad S, Toheed A, Ahmed J. Potential of rice husks for antimony removal. *Applied Radiation and Isotopes.* 2000;52:31-38.
8. Nakbanpote W, Thiravetyan P, Kalambaheti C. Preconcentration of gold by rice husk ash. *Minerals Engineering.* 2000;13(4):391-400.
9. Greenberg AE. Standard methods for the examination of water and wastewater. 19<sup>th</sup> ed. Washington: American Public Health Association; 1995.
10. Halhoul KhA, Drawish NA, Al-Dhoon NM. Effects of pH and inorganic salts on the adsorption of phenol from aqueous systems on activated decolorizing charcoal. *Separation Science and Technology.* 1995;30:3313-3324.
11. Satendra K, Upadhyay SN, Upadhyay YD. Removal of phenols by adsorption on fly ash. *J Chem Technol Biotechnol.* 1987;37:281-290.
12. Caturla F, Martin-Martinez JM, Molina-Sabio M, Rodriguez-Reinoso F, Torregrosa R. Adsorption of substituted phenols on activated carbon. *Journal of Colloid and Interface Science.* 1998;124:528-534.
13. Imagawa A, Seto R, Nagaosa Y. Adsorption of chlorinated hydrocarbons from air and aqueous solutions by carbonized rice husk. 2000. *Carbon.* 2000;38(4):628-630.
14. Reynolds TD, Richards P. Unit operations and processes in environmental engineering. California: PWS Publishers; 1982.
15. Benefield LD. Process chemistry for water and wastewater treatment. New Jersey: Prentice-Hall Inc; 1981.
16. Smith JE, Renner RC, Hegg BA, Bender JH. Upgrading exiting or designing new drinking water treatment facilities. NDC Publishers: 1991.
17. Lin SH, Cheng MJ. Adsorption of phenol & m-chlorophenol on organobentonites and repeated thermal regeneration. *Waste Management.* 2002;22:595-603.